

К ТЕОРИИ ЭФФЕКТА ФРЕДЕРИКСА В СВЕТОВОМ ПОЛЕ

А. С. Золотько, В. Ф. Китаева, Н. Г. Преображенский,
С. И. Трапкеев

УДК 532.783

Проведены численные расчеты самофокусировки лазерного пучка при переходе Фредерикса в нематическом жидком кристалле, вызванном световым полем. Определены распределение директора в кристалле и структура прошедшего пучка. Проведено сравнение полученных результатов с экспериментальными данными.

Настоящее сообщение непосредственно примыкает к работе /1/, в которой теоретически исследовалось воздействие лазерного излучения на нематическую фазу жидкого кристалла (НЖК), когда существенной оказывается переориентация директора кристалла — так называемый переход Фредерикса.

Согласно одноконстантному приближению континуальной теории НЖК /2/ для угла поворота директора $\theta(z, \rho)$ в цилиндрической системе координат имеет место следующее нелинейное уравнение:

$$\frac{\partial^2 \theta}{\partial z^2} + \frac{1}{\rho} \frac{\partial \theta}{\partial \rho} + \frac{\partial^2 \theta}{\partial \rho^2} + x^2 \Phi(z, \rho) \sin [2(\theta + \gamma)] = 0. \quad (1)$$

Здесь, как и в /1/, предполагается, что узкий пучок лазерного излучения падает на плоский слой НЖК толщиной L под малым углом γ к оси z , направленной по нормали к плоскостям слоя; в том же направлении ориентирован орт невозмущенного директора. Кроме того, $x^2 = \epsilon_a |\mathbf{E}_0|^2 (16\pi k)^{-1}$, где $\epsilon_a = \epsilon_{11} - \epsilon_{\perp}$ — фактор оптической анизотропии, определяемый несингулярной частью тензора диэлектрической проницаемости НЖК на частоте поля,

K - константа Франка. Функция $\Phi(z, \rho)$ характеризует конфигурацию электрического поля внутри образца.

В дальнейшем мы рассмотрим конкретную ситуацию, относящуюся к экспериментам, описанным в работах /3,4/. Примем, что $\gamma \approx 0$, $\Phi(z, \rho) = \Phi(\rho) = \exp(-2\rho^2/w^2)$ - описывает гауссов пучок с характерным размером w ($w \sim L$). При этом простейшие граничные условия задачи таковы:

$$\theta|_{z=0, L} = 0; \quad \theta|_{\rho \rightarrow \infty} = 0; \quad (\partial\theta/\partial\rho)|_{\rho=0} = 0. \quad (2)$$

В работе /1/ описанная выше задача решалась с помощью приближенного вариационного метода, имеющего ряд серьезных ограничений. Поэтому представляет естественный интерес осуществить прямое численное решение нелинейного уравнения (1) с граничными условиями (2). Удобной для этой цели оказалась неявная схема Кранка - Никольсона /5/ с покоординатным расщеплением /6/.

Самосогласование по полю достигалось путем решения уравнений геометрической оптики

$$\left(\frac{\partial S}{\partial \rho}\right)^2 + \left(\frac{\partial S}{\partial z}\right)^2 = n_e^2(z, \rho); \quad (3)$$

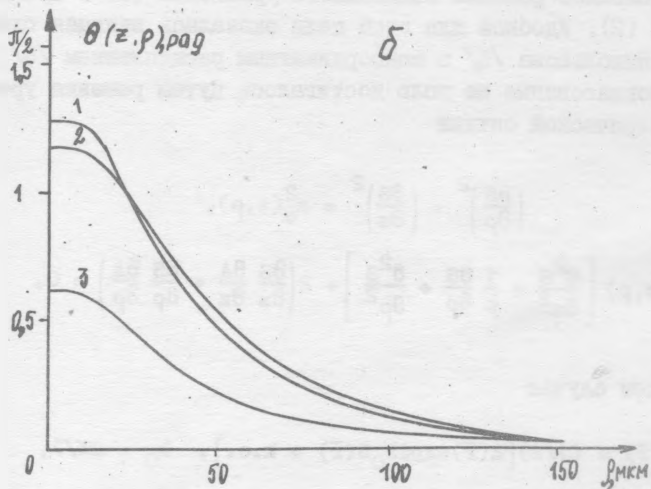
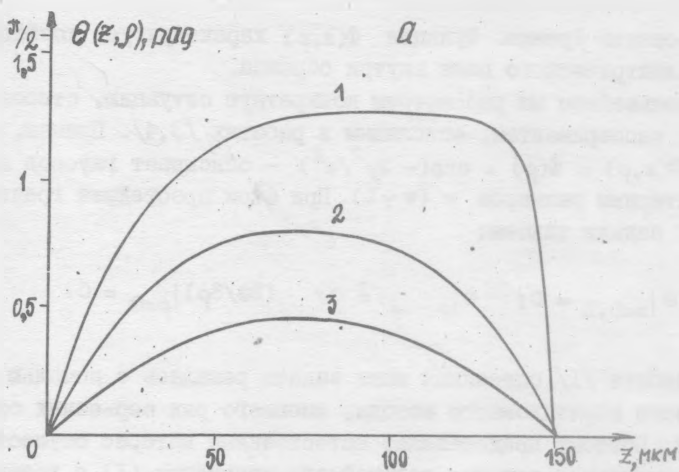
$$A(z, \rho) \left[\frac{\partial^2 S}{\partial z^2} + \frac{1}{\rho} \frac{\partial S}{\partial \rho} + \frac{\partial^2 S}{\partial \rho^2} \right] + 2 \left(\frac{\partial S}{\partial z} \frac{\partial A}{\partial z} + \frac{\partial S}{\partial \rho} \frac{\partial A}{\partial \rho} \right) = 0,$$

где в общем случае

$$E(\vec{r}) = (1/2)[A(\vec{r})\exp ik_0 S(\vec{r}) + \text{к.с.}], \quad k_0 = 2\pi/\lambda, \quad (4)$$

$$n_e(\theta) = (\epsilon_{\parallel} \epsilon_{\perp})^{1/2} [\epsilon_{\perp} \sin^2(\theta + \gamma) + \epsilon_{\parallel} \cos^2(\theta + \gamma)]^{-1/2}.$$

В этих формулах S , A и λ - фаза, амплитуда и длина волны; $n_e(\theta)$ - показатель преломления НЖК для необыкновенной волны. Оценки показывают, что эйкональное приближение удовлетворяет условиям задачи. Находя амплитуду $A(z, \rho)$, заменяем в уравнении (1) произведение $e^{2\Phi(z, \rho)}$ величиной $\epsilon_a |A(z, \rho)|^2 / 16\pi k$, получаем



Р и с. 1. Зависимость $\theta(z, \rho)$ при $\alpha^2 = 100$, $L = 150$ мкм, $w = 32$ мкм; кристалл ОЦФ /3/; а) $\rho = 0$ мкм (1), 30 мкм (2), 50 мкм (3); б) $z = 105$ мкм (1), 60 мкм (2), 15 мкм (3)

более точное решение $\Theta(z, \rho)$ и продолжаем сходящийся процесс до получения искомых функций с заданной точностью.

Полагая $z = L$ и находя поле на выходе из НЖК $E(\rho) = (1/2) \times x [A(L, \rho) \exp i k_0 S(L, \rho) + \text{к.с.}]$ с помощью дифракционного интеграла Фраунгофера

$$E'(x', y', z') = i(\lambda z')^{-1} \exp(-i k_0 \bar{r}') \int_0^{\rho_0} E(\rho) \rho J_0(k_0 \rho R' / z') d\rho, \quad (5)$$

рассчитываем поле в дальней зоне (на экране, удаленном от кюветы на расстояние z') и тем самым получаем структуру оптического изображения, наблюдаемого, например, на матовой пластинке /4/. В (5) J_0 - функция Бесселя, штрихами помечены координаты точек, относящихся к дальней зоне, причем $R'^2 = x'^2 + y'^2$, ρ_0 - значение ρ , при котором амплитуда выходящей из кристалла волны оказывается пренебрежимо малой.

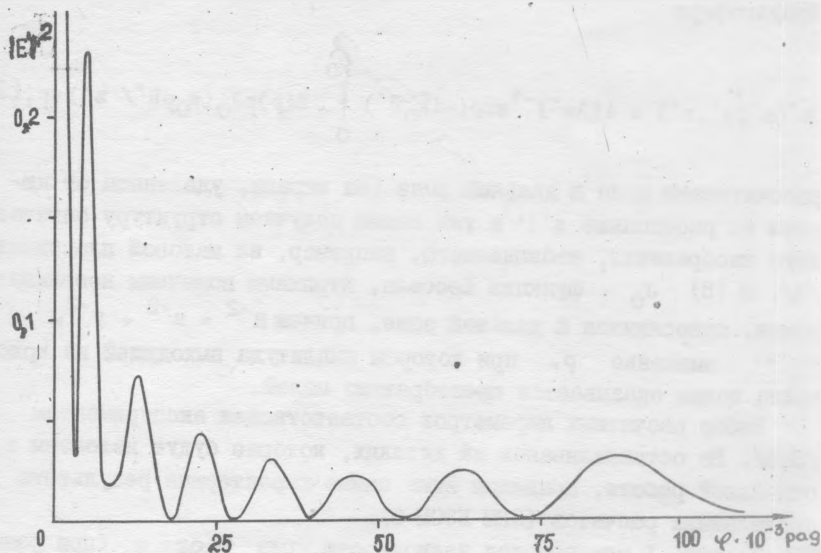
Выбор расчетных параметров соответствовал экспериментам /3, 4/. Не останавливаясь на деталях, которые будут изложены в отдельной работе, приведем лишь самые характерные результаты проделанных расчетов (ЭВМ БЭСМ-6).

На рис. 1 показан ход зависимости угла Θ от z (при различных ρ) и от ρ (при различных z) в условиях, когда пороговое значение перехода Фредерикса существенно превзойдено: $x^2 = 100$, величина перетяжки пучка $w = 32$ мкм. Нелинейность (самовоздействие) выражена очень отчетливо в асимметрии зависимости $\Theta(z)$ при малых значениях ρ , причем толщина переходного слоя вблизи верхней границы НЖК в этом случае $1 \sim 0,1L$. Ширина возмущенной зоны превышает величину перетяжки пучка.

Рис. 2 воспроизводит структурный профиль абберационной кольцевой картины, наблюдавшейся в /3, 4/ на экране. По оси ординат отложена величина $|E'|^2$, причем высота центрального пика принята за единицу, по оси абсцисс - угол $\psi = R'/z'$ в радианах. Расчет показывает, что ширина кольца растет от центра к краю картины, интенсивность колец в максимуме сначала уменьшается, а затем слегка возрастает. Для данного случая ($w = L = 50$ мкм, $x^2 = 15$) число колец N_k без учета центрального пика равно 7; расчет по оценочной формуле

$$N_k = (2\pi)^{-1} k_0 [S(\rho = 0) - S(\rho = \infty)], \quad (6)$$

обсуждавшейся в /1/, дает $\bar{N}_k = 6$.

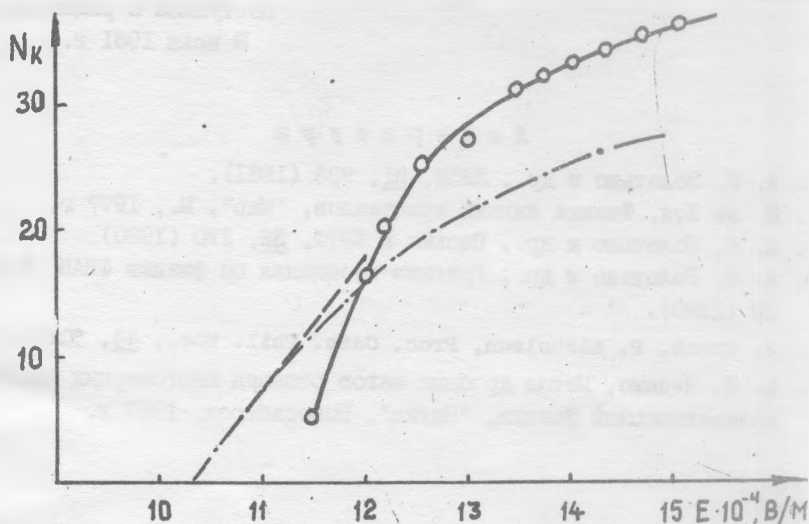


Р и с. 2. Профиль абберационной кольцевой структуры, наблюдаемой с кристаллом ОЦФФ на экране: $\alpha^2 = 15$, $L = w = 50$ мкм

На рис. 3 для НЖК ОЦФФ /3/ приведена зависимость числа N_k абберационных колец от величины напряженности поля E в центре пучка. Штриховой линией показан начальный участок этой зависимости, найденной согласно /1/ при условии, что поле незначительно превышает пороговое для перехода Фредерикса. Экстраполировать этот участок на большие значения E , очевидно, не имеет смысла. Штрих-пунктиром показаны результаты численного расчета с привлечением формулы (6). Кружки - экспериментальные данные. Хотя общий характер зависимости передается правильно, расхождение между расчетными и экспериментальными данными остается до-

вообще заметным, что свидетельствует о не вполне адекватной исходной модели взаимодействия излучения с НЖК. Пороговое значение E_t для перехода Фредерикса, полученное прямым численным расчетом, практически совпадает с полученным в /1/ на основе простой формулы

$$E_t = \frac{\pi}{L} \left(\frac{B\lambda K}{\epsilon_a} \right)^{1/2} \left(1 + \frac{\sqrt{2}\Gamma}{\pi w} \right). \quad (7)$$



Р и с. 3. Зависимость числа колец от напряженности поля в центре пучка за порогом перехода Фредерикса: $L = 150$ мкм, $w = 32$ мкм. Штриховая линия - расчет согласно /1/, штрих-пунктир - численный расчет с использованием (6), кружки - эксперимент /3/

Различие с экспериментом составляет здесь примерно 10%. Оценка предельного числа абберационных колец в условиях насыщения N_k^s (директор направлен параллельно полю), произведенная с помощью формулы (6), дает $N_k^s = 37$; в эксперименте /3/ наблюдалось до 39 колец; по приближенной формуле, приведенной в /1/, получается $N_k^s = 42$.

В заключение отметим, что использованный в работе численный метод расчета может быть без сколько-нибудь существенных изменений распространен и на более сложные ситуации, когда важен учет изменения поляризации пучка, проходящего через кристалл, гидродинамических факторов, ненулевых граничных условий, наличия магнитного поля, многоконстантного выражения для свободной энергии НЖК и т.п. Особый интерес представляет постановка и разработка методов решения широкого класса обратных задач физики взаимодействия когерентного излучения с жидкими кристаллами.

Поступила в редакцию
8 июля 1981 г.

Л и т е р а т у р а

1. А. С. Золотьюко и др., ЖЭТФ, 81, 933 (1981).
2. П. де Жен, Физика жидких кристаллов, "Мир", М., 1977 г.
3. А. С. Золотьюко и др., Письма в ЖЭТФ, 32, 170 (1980).
4. А. С. Золотьюко и др., Краткие сообщения по физике ФИАН № 12, 39 (1980).
5. J. Crank, P. Nicholson, Proc. Camb. Phil. Soc., 43, 50(1947).
6. Н. Н. Яненко, Метод дробных шагов решения многомерных задач математической физики, "Наука", Новосибирск, 1967 г.